

# ВЛИЯНИЕ $U$ -МИНУС-ЦЕНТРОВ НА ТЕМПЕРАТУРНУЮ ЗАВИСИМОСТЬ КОНЦЕНТРАЦИИ НОСИТЕЛЕЙ В НОРМАЛЬНОЙ ФАЗЕ ВТСП

***K. Д. Цэндин\*, И. А. Барыгин, А. И. Капустин, Б. П. Попов***

*Физико-технический институт им. А. Ф. Иоффе Российской академии наук  
194021, Санкт-Петербург, Россия*

*Санкт-Петербургский государственный политехнический университет  
195251, Санкт-Петербург, Россия*

Поступила в редакцию 13 декабря 2006 г.

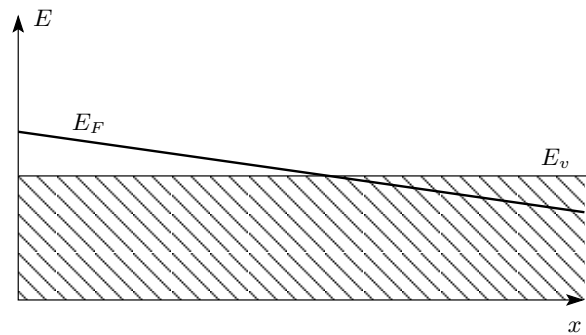
В рамках модели  $U$ -минус-центров рассмотрена температурная зависимость концентрации дырок в высокотемпературных сверхпроводниках. Показано, что эта зависимость может оказаться немонотонной вследствие взаимодействия электронных подсистем валентной зоны и  $U$ -минус-центров, и установлены необходимые для этого условия. Полученные результаты сопоставлены с экспериментальными данными по коэффициенту Холла в купратах.

PACS: 74.25.Jb, 74.72.-h

## 1. ВВЕДЕНИЕ

Со времени открытия высокотемпературной сверхпроводимости (ВТСП) в 1986 г. [1] сформировалось несколько основных подходов к объяснению этого явления, но единая модель, объясняющая все наблюдаемые свойства ВТСП-материалов, пока не существует. В настоящей работе описание свойств высокотемпературных сверхпроводников проведено в рамках модели, предложенной ранее [2]. В этой модели используется концепция центров с отрицательной эффективной корреляционной энергией ( $U$ -минус-центров). Сверхпроводящие свойства связываются с бозе-конденсацией в зонах  $D^+$  и  $D^-$   $U$ -минус-центров, а транспортные свойства нормальной фазы определяются переносом дырок по валентной зоне. В работах [3, 4] было показано, что благодаря такому разделению псевдощелевые особенности проводимости могут быть объяснены обменом дырками между валентной зоной и системой  $U$ -минус-центров.

При этом оказалось, что важным параметром, определяющим свойства материала, является положение уровня Ферми относительно верхней границы



**Рис. 1.** Качественный ход уровня Ферми с ростом додирования. Валентная зона заштрихована

валентной зоны (рис. 1). В частности, от него зависят характер проводимости — полупроводниковый или металлический. В работе [3] было показано, что если уровень Ферми находится выше валентной зоны, то концентрация дырок увеличивается с ростом температуры и характер проводимости является полупроводниковым. В случае же, когда уровень Ферми лежит в валентной зоне, было показано [4], что возможно возникновение добавочной проводимости за счет прихода дырок в валентную зону из системы  $U$ -минус-центров с понижением температуры. При

\*E-mail: tsendin@mail.ioffe.ru

этом была получена монотонная зависимость концентрации от температуры. В настоящей работе мы хотим обратить внимание на то, что в последнем случае, т. е. когда уровень Ферми лежит в валентной зоне, возможна немонотонная зависимость концентрации дырок от температуры.

## 2. $U$ -МИНУС-ЦЕНТРЫ

В ранней работе [5] Огг, по-видимому впервые, заметил, что в системе  $U$ -минус-центров возможно возникновение сверхпроводимости. Затем идея  $U$ -минус-центров была предложена Андерсоном в 1975 г. при рассмотрении свойств халькогенидных стеклообразных полупроводников [6]. Впоследствии эта идея получила развитие в работах [7, 8].

Кулик и Педан [9] рассмотрели в приближении среднего поля сверхпроводящие свойства системы  $U$ -минус-центров (или, по-другому, системы локализованных пар). В работе [2] Цэндин и Попов применили результаты Кулика и Педана к системе  $\text{YBa}_2\text{Cu}_3\text{O}_x$ , предложив объяснение зависимости критической температуры от степени додирования. В модели работы [2] сверхпроводящие свойства связывались с бозе-конденсацией в зонах  $U$ -минус-центров  $D^+$  и  $D^-$ , а транспортные свойства нормальной фазы определялись переносом дырок по валентной зоне. Благодаря этому в работах [3, 4] удалось объяснить псевдощелевые особенности проводимости как в недодированных, так и в передодированных ВТСП.

Ряд исследователей для описания ВТСП использует модели, основанные на применении модифицированной теории Бардина–Купера–Шриффера. Подчеркнем основные различия этих подходов и подхода, использованного при создании модели работы [2]. В модели сверхпроводимости, основанной на  $U$ -минус-центрах [2], спаривание носителей происходит при достаточно высоких температурах (в частности, при комнатной; это связано с достаточно большой абсолютной величиной эффективной корреляционной энергии), а сверхпроводимость возникает в системе уже существующих пар. Кроме того, псевдощелевые особенности в нормальной фазе связываются не с возникновением сверхпроводимости, а с изменением концентрации носителей (дырок в валентной зоне) из-за термодинамического взаимодействия электронов из системы  $U$ -минус-центров с валентной зоной.

Возникновение центров с отрицательной корреляционной энергией ( $U$ -минус-центров) возможно при наличии сильного электрон-фононного взаимо-

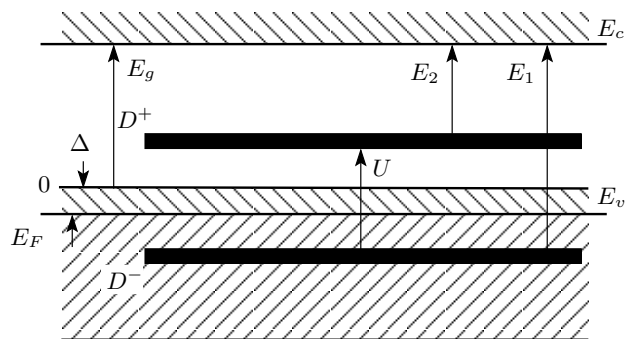
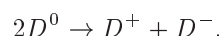


Рис. 2. Энергетический спектр рассматриваемой модели

действия. Рассмотрим центр, на котором находятся два электрона. Если энергия  $E_1$  первой ионизации оказывается больше энергии  $E_2$  второй ионизации, то эффективная корреляционная энергия  $-U = E_2 - E_1$  отрицательна. Это происходит, если при одновременном нахождении двух электронов на центре выигрыш в энергии, связанный с электрон-фононным взаимодействием, превышает энергию кулоновского отталкивания. Таким образом, реакция распада пар центров с одним электроном ( $D^0$ ) на центры без электронов ( $D^+$ ) и с двумя электронами ( $D^-$ ) оказывается экзотермической:



Возможность объяснения эффектов в ВТСП при помощи  $U$ -минус-центров рассматривалась во многих работах [10]. Вопрос о природе  $U$ -минус-центров является открытым. Различные предположения об их структуре были выдвинуты в работах [11–14].

## 3. МОДЕЛЬ

Будем отсчитывать энергию от верха валентной зоны, т. е. положим  $E_v = 0$ . Пусть  $\Delta$  — расстояние от верха валентной зоны до уровня Ферми (ситуация, когда уровень Ферми находится в валентной зоне, соответствует положительному знаку  $\Delta$ ). Ширина запрещенной зоны равна  $E_g$  (рис. 2). Статистическая сумма системы равна [4]

$$Z = \left\{ 1 + 2 \exp \left[ \frac{-(E_g - E_2) + \mu}{T} \right] + \right. \\ \left. + \exp \left[ \frac{-2(E_g - E_2) + U + 2\mu}{T} \right] \right\}^D \times \\ \times \prod_{k,\sigma} \left\{ 1 + \exp \left[ -\frac{\epsilon(k) - \mu}{T} \right] \right\},$$

где  $D$  — число  $U$ -минус-центров,  $\mu$  — химический потенциал. Первый множитель соответствует  $U$ -минус-центрм, остальные — электронам в валентной зоне с волновым вектором  $k$  и энергией  $\epsilon(k)$ . Полное число электронов в системе вычисляется как

$$N = -\frac{\partial}{\partial \mu}(-T \ln Z). \quad (1)$$

Скombинируем эти выражения, переходя от электронов к дыркам и заменяя суммирование по  $k$  интегрированием. Кроме того, пренебрежем количеством  $U$ -минус-центров в состоянии  $D^0$  (что обоснованно при  $T \ll U$ ) и будем считать закон дисперсии в валентной зоне изотропным и квадратичным. В результате всех этих преобразований получим

$$\chi = \frac{1}{1 + \exp\left[\frac{-2(\Delta + \mu)}{T}\right]} + A \int_{-\infty}^0 \frac{\sqrt{-\epsilon} d\epsilon}{1 + \exp[(\mu - \epsilon)/T]} = 0, \quad (2)$$

где

$$\chi = \frac{N - N_0}{2D}, \quad A = \frac{m^{*3/2}V}{\sqrt{2}D\pi^2\hbar^3},$$

$N_0$  — полное число состояний в валентной зоне,  $m^*$  — эффективная масса дырки,  $V$  — объем образца. Уравнение (2) позволяет определить зависимость  $\mu(T)$ . После этого число дырок определяется как

$$p = 2AD \int_{-\infty}^0 \frac{\sqrt{-\epsilon} d\epsilon}{1 + \exp[(\mu - \epsilon)/T]}. \quad (3)$$

Оказывается, что существуют значения параметров, при которых число дырок монотонно растет с температурой. Однако при некоторых условиях, а именно, если

$$\xi = \chi + \frac{2}{3}A\Delta^{3/2} > \frac{1}{2},$$

зависимость  $p(T)$  оказывается немонотонной — при достаточно низких температурах концентрация носителей убывает, а затем, пройдя через минимум, начинает возрастать. Параметр  $\xi$  характеризует степень заполнения  $U$ -минус-центров при  $T = 0$ , равную отношению концентрации отрицательно заряженных центров к общей концентрации  $U$ -минус-центров  $D$  и связанную со степенью додирования материала. Величина  $\Theta = (2/3)A\Delta^{3/2}$  равна отношению числа дырок в валентной зоне при  $T = 0$  к  $2D$ .

#### 4. ОБСУЖДЕНИЕ РЕЗУЛЬТАТОВ

Для сравнения с полученными результатами рассмотрим экспериментально известные температурные зависимости концентрации носителей. Будем использовать концентрацию носителей, полученную из экспериментов по исследованию эффекта Холла. Известно, что в ВТСП наблюдаются некоторые особенности эффекта Холла, а именно, смена знака носителей в нормальной фазе и несоответствие знаков носителей в нормальной фазе и в смешанном состоянии.

Рассмотрим вначале данные о нормальной фазе. Обычно знак носителей в нормальной фазе соответствует дырочной проводимости [15], однако при увеличении степени легирования константа Холла уменьшается и становится практически температурно-независимой. Поведение коэффициента Холла разбиралось в  $t$ - $J$ -модели в работе [16], где было показано, что при определенных соотношениях между обменным интегралом и интегралом переноса и при определенных степенях легирования коэффициент Холла может стать температурно-независимым и даже поменять знак. Экспериментальные данные об изменении знака носителей в нормальной фазе существуют только для системы  $\text{Nd}_{2-x}\text{Ce}_x\text{CuO}_{4-\delta}$ , которая легируется не дырками, а электронами. В случае же легирования дырками выраженной смены знака константы Холла не наблюдается [15]. В нашей модели существуют три типа носителей: дырки в валентной зоне и связанные пары носителей в зонах  $D^+$  и  $D^-$ . Мы рассматриваем вклад в эффект Холла, связанный только с дырками валентной зоны, поскольку целью работы было показать немонотонную температурную зависимость их концентрации.

Мы не рассматриваем аномалии знака коэффициента Холла в смешанном состоянии [17] и пользуемся формулой  $R_H = 1/p e$ . Так как зависимость полученной нами концентрации дырок от температуры немонотонна, коэффициент Холла, рассчитанный по этой формуле, также должен немонотонно зависеть от температуры. Подобное поведение  $R_H$  наблюдалось экспериментально в системах  $\text{YBa}_2\text{Cu}_3\text{O}_x$  [18] (рис. 3) и  $\text{La}_{2-x}\text{Sr}_x\text{CuO}_4$ .

На рис. 4 приведены экспериментальные зависимости концентрации дырок, рассчитанные из данных работы [19], и теоретические, рассчитанные для параметров, указанных в табл. 1. Хорошее совпадение теоретических и экспериментальных кривых наблюдается только в том случае, когда эффективная масса дырок в валентной зоне принимается равной 30–70 масс свободного электрона  $m_0$ .

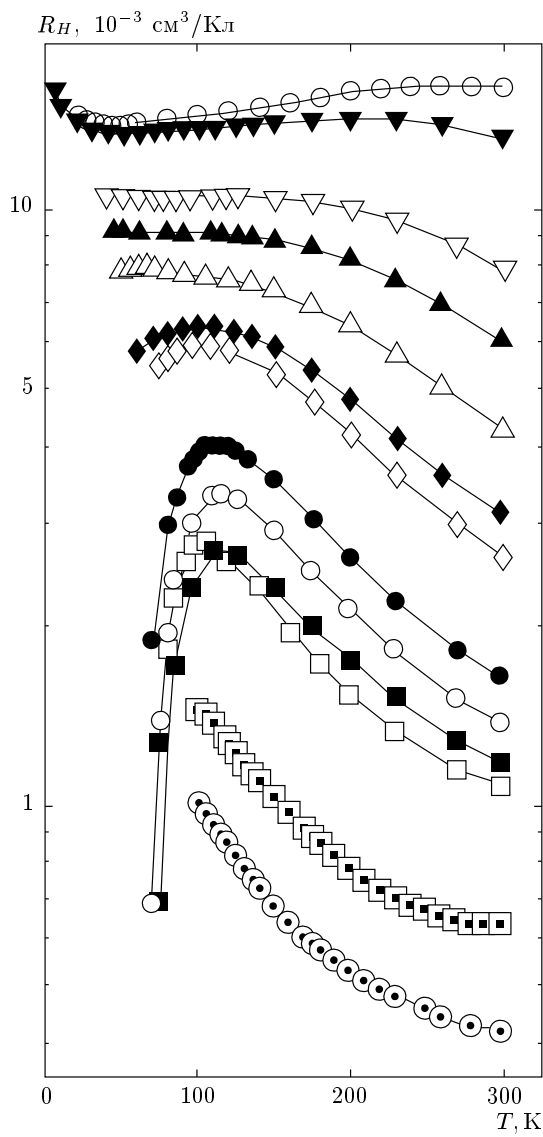


Рис. 3. Температурные зависимости коэффициента Холла в  $\text{YBa}_2\text{Cu}_3\text{O}_y$  [18] при  $y = 6.30, 6.35, 6.45, 6.50, 6.55, 6.60, 6.65, 6.70, 6.75, 6.80, 6.85, 6.95, 7.00$  (кривые сверху вниз)

Таблица 1

$x$	$\Delta$ , мэВ	$m^*/m_0$	$\chi$	$D/V$ , $\text{см}^{-3}$
0.10	17.0	36.8	0.906	$1.25 \cdot 10^{22}$
0.15	21.7	40.1	0.800	$1.84 \cdot 10^{22}$
0.20	21.1	67.2	0.735	$2.64 \cdot 10^{22}$

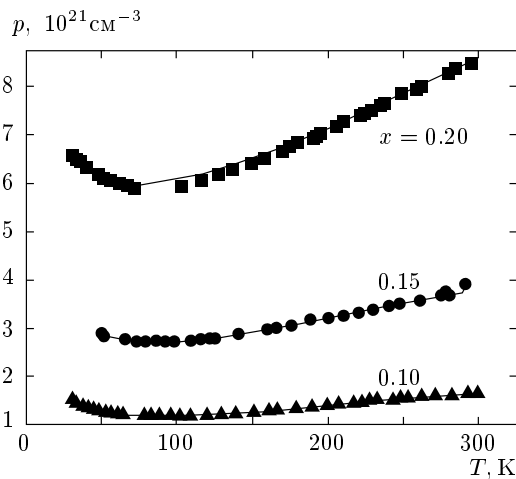


Рис. 4. Модельная (для параметров из табл. 1) и рассчитанная из экспериментальных данных работы [19] температурные зависимости концентрации дырок в  $\text{La}_{2-x}\text{Sr}_x\text{CuO}_4$ . Экспериментальные данные — точки, расчет — сплошные кривые

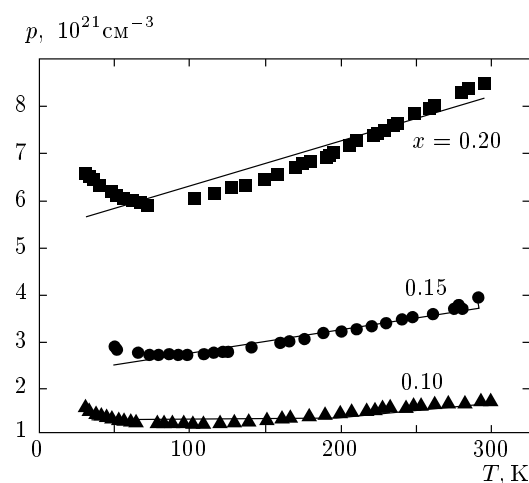


Рис. 5. То же, что на рис. 4. Теоретические кривые получены для значений из табл. 2

Таблица 2

$x$	$\Delta$ , мэВ	$m^*/m_0$	$\chi$	$D/V$ , $\text{см}^{-3}$
0.10	38.8	11.8	0.714	$4.3 \cdot 10^{22}$
0.15	47.4	12.9	-0.170	$0.4 \cdot 10^{22}$
0.20	64.7	17.2	-0.038	$1.5 \cdot 10^{22}$

Для сравнения на рис. 5 приведены экспериментальные данные вместе с теоретическими зависимостями для меньших значений  $t^*$  (см. табл. 2).

Необходимость приписывать дыркам столь большую эффективную массу может быть связана с тем, что, как уже говорилось выше, мы не рассматривали вклад в эффект Холла от тяжелых носителей в зонах  $D^+$  и  $D^-$ . С одной стороны, они могут давать непосредственный вклад в эффект Холла, с другой стороны, их взаимодействие с дырками может существенно увеличивать эффективную массу последних.

Полученные величины концентрации  $U$ -минус-центров свидетельствуют о том, что они являются не дефектами в ВТСП, а частью основных структурных единиц материала, формирующих ответственный за сверхпроводимость переколяционный кластер.

Полученные в настоящей работе результаты свидетельствуют о том, что в зависимости от степени допирования и от соотношения между плотностью состояний в валентной зоне и концентрацией  $U$ -минус-центров возможны различные варианты температурных зависимостей дырок в валентной зоне.

В работах [3, 4] было показано, что концентрация дырок может увеличиваться с ростом температуры, если уровень Ферми находится выше валентной зоны, и убывать, если уровень Ферми лежит в валентной зоне (при этом возникает добавочная проводимость). В настоящей работе показано, что даже если уровень Ферми находится в валентной зоне, то возможна немонотонная зависимость концентрации дырок от температуры.

В работе [20] объяснялась только монотонная зависимость  $R_H(T)$ , причем авторы выбрали из экспериментальных данных только ту зависимость, где немонотонность выражена слабо. На рис. 3 мы приводим данные из работы [18], где немонотонность выражена сильно и качественно согласуется с нашими результатами.

Таким образом, рост концентрации дырок с ростом температуры не обязательно говорит о том, что уровень Ферми находится выше валентной зоны. Этот рост может быть частью немонотонной зависимости концентрации в дырочном металле. Детальное количественное сравнение выводов работы и экспериментальных данных требует тщательного анализа с привлечением данных, связанных не только с транспортными свойствами ВТСП.

## ЛИТЕРАТУРА

1. J. G. Bednorz and K. A. Müller, Z. Phys. B **64**, 189 (1986).
2. K. D. Tsedin and B. P. Popov, Supercond. Sci. Technol. **12**, 255 (1999).
3. K. D. Tsedin and D. V. Denisov, Supercond. Sci. Technol. **16**, 680 (2003).
4. К. Д. Цэндин, Д. В. Денисов, Письма в ЖЭТФ **80**, 277 (2004).
5. R. Ogg, Phys. Rev. **69**, 243 (1946).
6. P. W. Anderson, Phys. Rev. **109**, 1492 (1975).
7. R. A. Street and N. F. Mott, Phys. Rev. Lett. **35**, 1293 (1975).
8. M. Kastner, D. Adler, and H. Fritzsch, Phys. Rev. Lett. **37**, 1504 (1976).
9. И. О. Кулик, А. Г. Педан, ЖЭТФ **79**, 1469 (1980).
10. J. A. Wilson, J. Phys: Condens. Matter **13**, R945 (2001).
11. А. Ф. Андреев, Письма в ЖЭТФ **79**, 100 (2004).
12. К. В. Мицен, О. М. Иваненко УФН **174**, 545 (2004).
13. A. S. Alexandrov, *Theory of Superconductivity: from Weak to Strong Coupling*, IoP Publishing, Bristol-Philadelphia (2003).
14. К. Д. Цэндин, Д. В. Денисов, Б. П. Попов, 1-я Международная конференция «Фундаментальные проблемы высокотемпературной сверхпроводимости». Сборник расширенных тезисов, Москва-Звенигород (2004), с. 201.
15. T. Nishikawa, J. Takeda, and M. Sato, J. Phys. Soc. Jpn. **63**, 1441 (1994).
16. K. Haule, A. Rosch, J. Kroha, and P. Wölfle, Phys. Rev. B **68**, 155119 (2003).
17. T. Nagaoka, Y. Matsuda, H. Obara et al., Phys. Rev. Lett. **80**, 3594 (1998).
18. K. Segawa and Y. Ando, Phys. Rev. B **69**, 104521 (2004).
19. M. Suzuki, Phys. Rev. B **39**, 2312 (1989).
20. К. В. Мицен, О. М. Иваненко, Письма в ЖЭТФ **82**, 144 (2005).